

## СПЕКТРОСКОПИЯ ОКРУЖАЮЩЕЙ СРЕДЫ

УДК 539.191

# Влияние изотопного замещения в активной молекуле на коэффициенты самоуширения спектральных линий углекислого газа

Н.Н. Лаврентьева<sup>1</sup>, А.С. Дударенок<sup>1</sup>, Ж.В. Булдырева<sup>2\*</sup>

<sup>1</sup>Институт оптики атмосферы им. В.Е. Зуева СО РАН  
634021, г. Томск, пл. Академика Зуева, 1, Россия

<sup>2</sup>Institute UTINAM,  
UMR CNRS 6213, Université de Franche-Comté, 16 route de Gray, 25030 Besançon cedex, France

Поступила в редакцию 19.12.2011 г.

Исследовано воздействие дипольного момента, возникающего при изотопозамещении одного из атомов кислорода в спектроскопически активной молекуле, на столкновительные полуширины линий колебательно-вращательных переходов полосы  $v_3$  для случая возмущения основной изотопной модификацией  $^{16}\text{O}^{12}\text{C}^{16}\text{O}$ . Для расчетов самоуширения линий изотопных модификаций углекислого газа использованы два метода: полуэмпирический и полуклассический. В рамках обоих методов выявлено небольшое, но вполне наблюдаемое изменение полуширин линий для изотопных модификаций.

*Ключевые слова:* контур спектральных линий, самоуширение линии; contour of spectral line, self-broadening coefficient of spectral line.

### Введение

Информация о самоуширении спектральных линий углекислого газа и его основных изотопных модификаций необходима для решения задач физики атмосферы, астрофизики и лазерной физики. При этом точность, требуемая для коэффициентов уширения, не должна превышать 5%, а следовательно, должны быть учтены присутствующие изотопные модификации и их влияние на форму и положение спектральных линий.

В настоящее время имеется большое количество экспериментальных и теоретических работ, посвященных изучению коэффициентов самоуширения линий основной изотопной модификации молекулы  $\text{CO}_2$  [1–15]. Столкновительные параметры контура линий для наиболее интенсивной полосы  $v_3$ , расположенной в области 4,2 мкм, получены для переходов  $P$ - и  $R$ -типа в широком диапазоне вращательных квантовых чисел  $J = 0^{\circ}83$  [1–3]. Измерения в более сложных холодных полосах (например,  $201_{\Pi} \leftarrow 000$ ,  $00^03 \leftarrow 00^00$ ,  $11^10^1 \leftarrow 00^00^1$ ) проведены в работах [1–9], а в горячих полосах (например,  $00^01^1 \leftarrow 10^00^1$ ,  $10^01^1 \leftarrow 10^00^2$ ,  $12^20 \leftarrow 01^10$ ) – в работах [8–15]. Спектральный диапазон полученных данных широк – от 1,43 до 15 мкм. Он характеризуется довольно большим разбросом экспериментальных значений полуширин линий: этот разброс

достигает 15% ( $\gamma^{J=2} = 0,1150$  [7] и  $0,1276 \text{ см}^{-1}/\text{атм}$  [10]) для малых значений  $J$  и 25% ( $\gamma^{J=30} = 0,0706$  [4] и  $0,0950 \text{ см}^{-1}/\text{атм}$  [8]) для высоких значений  $J$ . Результаты расчетов для района 1,43 мкм в рамках теории Андерсона–Цао–Карната [5] и для района 10,4 мкм [6] в рамках формализма Робера–Бонами также существенно расходятся. Например, при  $J = 70$  рассчитанное значение полуширинны отличается от измеренного на 15% [6].

Как и любая молекула симметричной конфигурации, основная изотопная модификация углекислого газа  $^{16}\text{O}^{12}\text{C}^{16}\text{O}$  (часто называемая «изотополог 626») не имеет постоянного дипольного момента. Он появляется при изотопном замещении одного из атомов кислорода вследствие изменения позиции центра масс и возникающей асимметрии упругих сил, возвращающих колеблющиеся атомы к положению равновесия. Расчет величины появляющегося постоянного дипольного момента для изотопной модификации  $^{16}\text{O}^{12}\text{C}^{18}\text{O}$  (изотополог 628) был произведен Gangemi [16] с использованием метода нормальных координат и с упрощенной формой силовых полей.

Самоуширение линий второй по распространенности изотопной модификации молекулы углекислого газа  $^{13}\text{C}^{16}\text{O}_2$  изучалось в работе [17]. Авторами были получены данные для 75 переходов  $P$ - и  $R$ -типа с  $J \leq 58$  в колебательных полосах  $00^01^1 \leftarrow 10^00^1$  (центр полосы на частоте  $913,425 \text{ см}^{-1}$ ) и  $00^01^1 \leftarrow 10^00^2$  (центр на  $1017,659 \text{ см}^{-1}$ ). Поскольку полученные для  $^{13}\text{C}^{16}\text{O}_2$  результаты оказались очень близки к полуширинам линий молекулы  $^{12}\text{C}^{16}\text{O}_2$ ,

\* Нина Николаевна Лаврентьева (lnn@iao.ru); Анна Сергеевна Дударенок; Жанна Валерьевна Булдырева (jeanna.buldyreva@univ-fcomte.fr).

был сделан вывод о незначительном влиянии изотопозамещения центрального атома.

Авторы [3] измерили самоуширение линий молекулы  $^{16}\text{O}^{12}\text{C}^{17}\text{O}$  (изотополог 627) и столкновительные параметры контура линий основной изотопной модификации 626 для переходов  $R(63)$  и  $R(61)$ ,  $R(67)$ ,  $R(69)$ ,  $R(71)$  полосы  $v_3$  соответственно. Согласно этим данным эффект изотопного замещения атома кислорода является существенным: для изотополога 627  $\gamma^{J=63} = 0,0710 \text{ см}^{-1}/\text{атм}$ , тогда как для основной модификации 626  $\gamma^{J=61} = 0,0629$  и  $\gamma^{J=67} = 0,0595 \text{ см}^{-1}/\text{атм}$ .

Для большинства переходов, представленных в спектроскопической базе HITRAN [18], коэффициенты самоуширения линий любой из изотопных модификаций  $\text{CO}_2$  определены с использованием полиномиальной подгонки, предложенной в [19]. Вопрос о непосредственном экспериментальном измерении этих коэффициентов и об их теоретическом расчете является, следовательно, весьма актуальным для высокоточного моделирования спектров инфракрасного поглощения и, в особенности, спектров поглощения земной атмосферы.

В настоящей статье рассматривается воздействие дипольного момента, возникающего при изотопозамещении одного из атомов кислорода в спектроскопически активной молекуле, на столкновительные полуширины линий колебательно-вращательных переходов полосы  $v_3$  для случая возмущения основной изотопной модификацией  $^{16}\text{O}^{12}\text{C}^{16}\text{O}$ . Основная масса результатов получена с использованием полуэмпирического метода [20], хорошо зарекомендовавшего себя в расчетах параметров контура линии и их температурных зависимостей для систем сталкивающихся молекул  $\text{H}_2\text{O}-\text{N}_2(\text{O}_2, \text{H}_2\text{O})$ ,  $\text{O}_3-\text{N}_2(\text{O}_2)$  и  $\text{CO}_2-\text{N}_2(\text{O}_2, \text{N}_2\text{O})$  [21–25]. Результаты этих расчетов помещены в информационную систему «W@DIS» [26], а также в банк данных GEISA [27]. Для линий  $R$ -ветви полосы  $v_3$  расчеты дополнительно проведены в рамках полуклассического подхода [28], дающего реалистичные значения коэффициентов уширения не только для линейных молекул [29, 30], но и для симметричных [31] и асимметричных [22, 28] волчков.

## 1. Методы расчетов

### 1.1. Полуэмпирический метод

В основе использованного полуэмпирического метода (ПЭ) лежит ударная полуклассическая теория уширения [32], обычно рассматриваемая в рамках следующих предположений: столкновения бинарны, длительность столкновения меньше времени между столкновениями, трансляционное движение частиц описывается классическими траекториями, а интерференция линий не принимается во внимание. Эмпирический характер метода выражается во введении в выражение полуширины линии корректирующего фактора, параметры которого находятся путем сравнения результатов расчета с небольшим числом измеренных столкновительных полуширин.

При допущенных приближениях и приближении прямолинейной траектории общее выражение для полуширины (на половине высоты) спектральной линии радиационного перехода  $f \leftarrow i$  представляется следующим образом:

$$\gamma_{fi} = A(f, i) + \sum_l \sum_{i'} D^2(ii'|l) P_l^A(\omega_{ii'}) + \\ + \sum_l \sum_{f'} D^2(ff'|l) P_l^A(\omega_{ff'}). \quad (1)$$

Здесь

$$A(f, i) = \frac{n}{c} \sum_k \rho(k) \int_0^\infty v f(v) dv b_0^2(v, k, i, f)$$

— обычное слагаемое теории Андерсона, обусловленное прерыванием ( $b_0(v, k, i, f)$  — параметр прерывания). Силы переходов  $D^2(ii'|l)$  и  $D^2(ff'|l)$  для каналов рассеяния  $i \rightarrow i'$ ,  $f \rightarrow f'$  зависят только от молекулярных постоянных поглащающей молекулы и включают только внутримолекулярные эффекты. Члены с  $l = 1$  относятся к переходам дипольного типа,  $l = 2$  соответствует квадрупольным переходам основной молекулы.

Коэффициенты разложения  $P_l(\omega)$ , называемые «эффективностями» каналов рассеяния, содержат влияние взаимодействия с возмущающей молекулой (потенциала, траектории, колебательно-вращательных уровняй, волновых функций):

$$P_l(\omega) = \frac{n}{c} \sum_k \rho(k) \times \\ \times \sum_{l', k'} A_{ll'} D^2(kk'|l') F_{ll'} \left( \frac{2\pi c b_0(k, i, f)}{v} (\omega + \omega_{kk'}) \right), \quad (2)$$

где  $kk'$  — квантовые числа;  $l'$  характеризует тип мультиполей молекулы термостата. Функции эффективности  $P_l(\omega)$  могут рассматриваться как произведение функций эффективности из теории Андерсона  $P_l^A(\omega)$  и поправочного ряда:

$$P_l(\omega) = P_l^A(\omega) [1 + a_1 \omega + a_2 \omega^2 + \dots] \equiv P_l^A(\omega) C_l(\omega). \quad (3)$$

Корректирующий фактор  $C_l(\omega)$  подбирается в виде  $J$ -зависимых выражений с параметрами, подгоняемыми по нескольким экспериментальным значениям полуширин.

### 1.2. Полуклассический метод

Полуклассический подход [28], используемый в настоящей статье, включает экспоненциальное представление оператора рассеяния и точные классические траектории, pilotируемые изотропной частью межмолекулярного потенциала взаимодействия. Так как коэффициенты самоуширения  $\text{CO}_2$  не очень сильно зависят от колебательных квантовых

чисел [12], колебательной зависимостью изотропного и анизотропного потенциалов взаимодействия можно пренебречь. Индуцированные столкновениями переходы в активной и возмущающей молекулах могут также быть ограничены чисто вращательными переходами внутри данного (начального или конечного) колебательного состояния. В пренебрежении некоммутативным характером взаимодействия в различные моменты времени полуширина  $\gamma_{fi}$  определяется реальной частью вклада второго порядка  $S_2$  в матрицу рассеяния:

$$\gamma_{fi} = \frac{n\bar{v}}{2\pi c} \left\langle 1 - e^{-S_2} \right\rangle_{b, J_2}. \quad (4)$$

В этом выражении средняя тепловая скорость  $\bar{v}$  заменяет максвелловское распределение по скоростям с целью экономии расчетного времени, а усреднение проводится по прицельному параметру  $b$  и вращательным состояниям  $J_2$  возмущающей молекулы, находящейся в основном колебательном состоянии. Вклады второго порядка  $S_2$  выражаются через матричные элементы анизотропного потенциала взаимодействия, который аппроксимируется суммой электростатических (диполь-квадрупольных  $\mu_1 Q_2$  и/или квадруполь-квадрупольных  $Q_1 Q_2$ ) взаимодействий и парных взаимодействий «атом  $i$  – атом  $j$ » (учитывающих влияние короткодействующих сил и частично влияние дисперсионных и индукционных сил):

$$V_{aniso} = V_{Q_1 Q_2} (+V_{\mu_1 Q_2}) + \sum_{i,j} \left( \frac{d_{ij}}{r_{1i,2j}^{12}} - \frac{e_{ij}}{r_{1i,2j}^6} \right). \quad (5)$$

В уравнении (5) численные индексы 1 и 2 относятся соответственно к активной и возмущающей молекулам, параметры  $d_{ij}$  и  $e_{ij}$  выражаются через параметры Леннарда-Джонса  $\epsilon_{ij}$ ,  $\sigma_{ij}$  для атомов  $i$  и  $j$  ( $d_{ij} = 4\epsilon_{ij}\sigma_{ij}^{12}$ ,  $e_{ij} = 4\epsilon_{ij}\sigma_{ij}^6$ ), а межатомные расстояния  $r_{1i,2j}$  рассчитываются при помощи двухцентрового разложения [33] как функции межмолекулярного расстояния  $r$  и расстояний  $r_{1i}$ ,  $r_{2j}$  атомов  $i$ ,  $j$  до соответствующего молекулярного центра масс. Необходимые молекулярные параметры для изотопных модификаций  $^{16}\text{O}^{12}\text{C}^{16}\text{O}$  и  $^{16}\text{O}^{12}\text{C}^{18}\text{O}$  представлены в таблице.

Изотропный потенциал выбирается в форме Леннарда-Джонса, и, так как замена одного атома кислорода  $^{16}\text{O}$  на  $^{18}\text{O}$  в активной молекуле не при-

водит к заметному изменению относительной молекулярной скорости, одни и те же потенциальные параметры используются для обеих изотопных модификаций излучающей молекулы:  $\epsilon = 234 \text{ K}$ ,  $\sigma = 3,92 \text{ \AA}$  [34]. Значения энергий для вращательных уровней (параметрически зависящие от данного колебательного состояния  $v$ ) вычисляются по формуле

$$E_{(v)J} = B_v J(J+1) - D_v J^2(J+1)^2 \quad (6)$$

со значениями [36]:

$$B_{00^0_0}^{626} = 0,39021894 \cdot 10^{-7}, \quad B_{00^0_1}^{626} = 0,38714140 \cdot 10^{-7}, \\ B_{00^0_0}^{628} = 0,3681771 \cdot 10^{-7}, \quad B_{00^0_1}^{628} = 0,36528671 \cdot 10^{-7} \text{ см}^{-1}$$

и

$$D_{00^0_0}^{626} = 1,33373 \cdot 10^{-7}, \quad D_{00^0_1}^{626} = 1,33034 \cdot 10^{-7}, \\ D_{00^0_0}^{628} = 1,17 \cdot 10^{-7}, \quad D_{00^0_1}^{628} = 1,1838 \cdot 10^{-7} \text{ см}^{-1}.$$

## 2. Обсуждение результатов

Расчеты коэффициентов самоширеия линий  $\text{CO}_2$  по полумпирическому методу были проведены для  $P$ -,  $Q$ - и  $R$ -ветвей при значениях вращательного квантового числа  $J = 0^{\prime}65$  для изотопных модификаций  $^{16}\text{O}^{12}\text{C}^{16}\text{O}$ ,  $^{16}\text{O}^{12}\text{C}^{17}\text{O}$  и  $^{16}\text{O}^{12}\text{C}^{18}\text{O}$ . Корректирующий фактор для (3) был выбран в виде

$$C_l(\omega) = c_1 / (c_2 \sqrt{J} + 1), \quad (7)$$

а подгоночные параметры  $c_1$ ,  $c_2$  были найдены из сравнения результатов расчета с измерениями [1]:  $c_1 = 1,31$ ;  $c_2 = 0,16$ . Использование корректирующего фактора в виде (7) позволяет правильно описать поведение полуширин линий при больших значениях квантовых чисел, при повышенной температуре и т.д. [21, 25].

Вычисленные коэффициенты самоширеия линий основной изотопной модификации для колебательно-вращательных переходов  $R$ -ветви приведены на рис. 1. Здесь и далее используется стандартное обозначение  $m = J + 1$  для  $R$ -ветви,  $m = J$  для  $Q$ -ветви и  $m = -J$  для  $P$ -ветви.

Видно хорошее согласие расчетов с экспериментальными параметрами контура линий в полосе  $v_3$  [1–3]: среднеквадратическое отклонение между нашими данными и взятыми из [1] составляет  $0,0015 \text{ см}^{-1}/\text{атм}$ . Наибольшие расхождения имеют место для малых  $J$  ( $\Delta\gamma = 0,006 \text{ см}^{-1}/\text{атм}$  при  $J = 1$ ).

**Молекулярные параметры и параметры взаимодействий атом–атом для изотопных модификаций  $^{16}\text{O}^{12}\text{C}^{16}\text{O}$  и  $^{16}\text{O}^{12}\text{C}^{18}\text{O}$ , сталкивающихся с  $^{16}\text{O}^{12}\text{C}^{16}\text{O}$**

Изотопная модификация	$\mu$ , Д	$Q$ , Д · $\text{\AA}$	$r_{1i}$ , $r_{2j}$ , $\text{\AA}$	$d_{ij}$ , $10^{-7} \text{ эрг} \cdot \text{\AA}^{12}$	$e_{ij}$ , $10^{-10} \text{ эрг} \cdot \text{\AA}^6$
$^{16}\text{O}^{12}\text{C}^{16}\text{O}$	–	–3,6 [34]	$r_{10} = r_{20} = 1,16$ [35]	$d_{OO} = 0,258$ [35]	$e_{OO} = 0,344$ [35]
$^{16}\text{O}^{12}\text{C}^{18}\text{O}$	$1,15 \cdot 10^{-3}$ [16]	–3,6	$R_{106} = 1,21$ $R_{108} = 1,11$ $R_{1C} = 0,05$	$d_{CC} = 0,035$ [35] $d_{CO} = 0,096$	$e_{CC} = 0,075$ [35] $e_{CO} = 0,161$

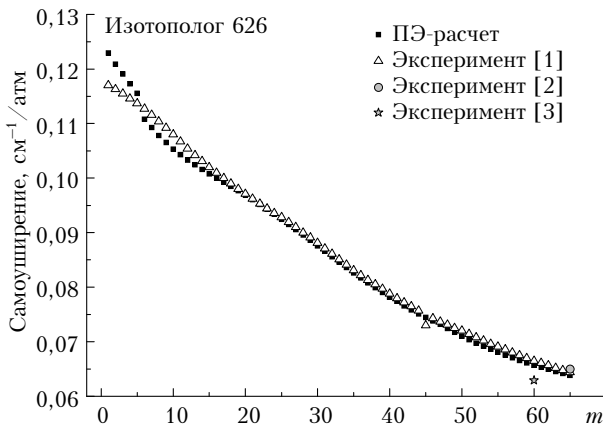


Рис. 1. Рассчитанные и экспериментальные значения коэффициентов самоуширения линий основной изотопной модификации молекулы  $\text{CO}_2$

Сравнение результатов расчета с данными, представленными в спектроскопической базе данных HITRAN [18], показано на рис. 2. Параметры  $\gamma^{\text{расч}}$  и  $\gamma^{\text{HITRAN}}$  расходятся больше чем на 2% только для 4 линий, и это различие не превышает 2,5%.

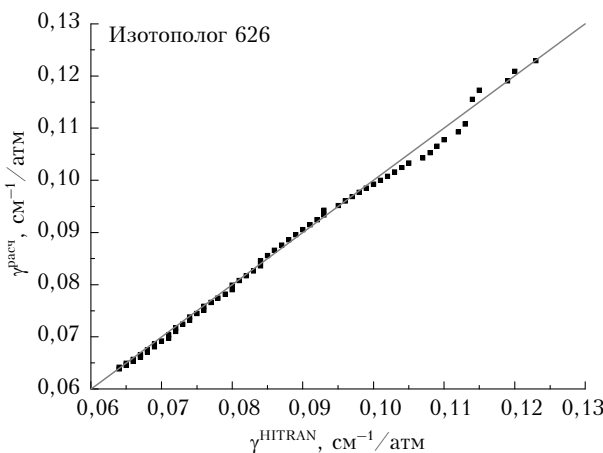


Рис. 2. Сравнение рассчитанных коэффициентов самоуширения линий основной изотопной модификации молекулы  $\text{CO}_2$  и данных, приведенных в спектроскопической базе HITRAN

Расчетные данные в  $P$ -,  $Q$ - и  $R$ -ветвях отличаются незначительно (рис. 3): максимальный разброс между вычисленными полуширинами в  $P$ - и  $Q$ -ветвях составляет 3,3% ( $\sim 0,002 \text{ см}^{-1}/\text{атм}$ ) при  $m = 60$ . Тем не менее, как видно из рис. 3, параметры для  $Q$ -ветви больше соответствующих значений для двух других ветвей в среднем на  $0,002 \text{ см}^{-1}/\text{атм}$ . Помещенные в HITRAN [18] коэффициенты самоуширения не зависят от типа ветви, т.е.  $\gamma^{P(|m|)} = \gamma^{Q(|m|)} = \gamma^{R(|m|)}$  и, соответственно, они находятся в хорошем согласии с результатом расчета для различных ветвей.

На рис. 4 приведены рассчитанные коэффициенты самоуширения линий изотопных модификаций  $^{16}\text{O}^{12}\text{C}^{16}\text{O}$ ,  $^{16}\text{O}^{12}\text{C}^{17}\text{O}$ ,  $^{16}\text{O}^{12}\text{C}^{18}\text{O}$ .

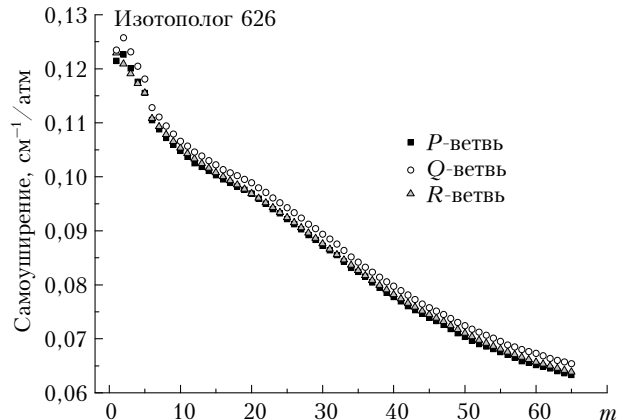


Рис. 3. Влияние различных типов ветвей на величину полуширины линии

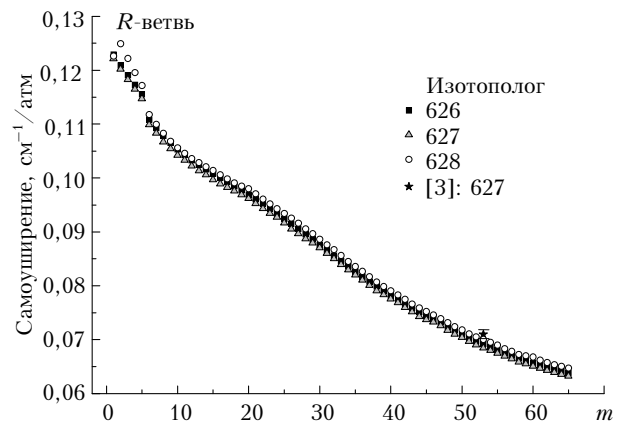


Рис. 4. Влияние изотопозамещения на величину полуширины линии для  $R$ -ветви

Максимальное различие между рассчитанными полуширинами для различных изотопов составляет 3,9% ( $\sim 4,6 \text{ мК}/\text{атм}$ ) при  $m = 2$  для  $R$ -ветви, но в основном оно колеблется от 1 до 2% ( $\sim 1,5$ – $2,0 \text{ мК}/\text{атм}$ ). Для  $P$ - и  $Q$ -ветвей эта разница менее существенна. То есть в целом изменение коэффициентов уширения при изотопном замещении одного из атомов кислорода в молекуле углекислого газа небольшое, но в высокоточных расчетах должно учитываться.

Результаты расчетов по полуклассическому методу для  $R$ -ветви полосы  $v_3$  представлены на рис. 5.

При добавлении лишь электростатического взаимодействия «диполь–квадруполь» коэффициенты уширения линий изотополога 628 очень незначительно отличаются от коэффициентов самоуширения изотополога 626, что соответствует очень небольшой величине возникающего при изотопозамещении дипольного момента. Включение соответствующих вкладов «атом–атом» приводит к дополнительному уширению линий, возрастающему с увеличением вращательного квантового числа  $J$  и достигающему 5% при  $J = 60$ . Это означает, что заметное влияние изотопного замещения в активной молекуле на коэффициенты уширения линий подтверждается не только полуэмпирическими, но и полуклассически-

ми расчетами, а следовательно, должно учитываться при моделировании спектров.

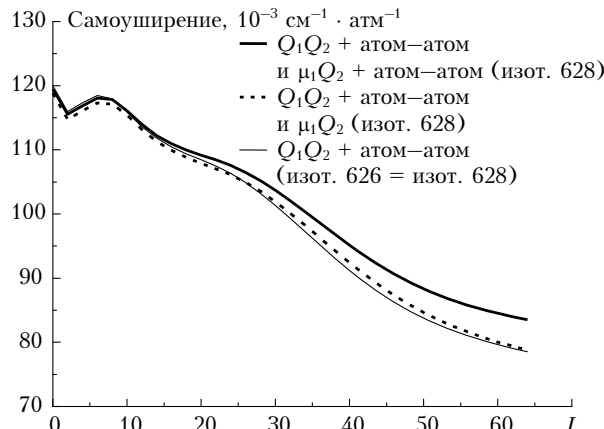


Рис. 5. Вычисленные по полуклассическому методу коэффициенты уширения линий  $^{16}\text{O}^{12}\text{C}^{16}\text{O}$  и  $^{16}\text{O}^{12}\text{C}^{18}\text{O}$  давлением  $^{16}\text{O}^{12}\text{C}^{16}\text{O}$  (полоса  $v_3$ )

### Заключение

С помощью двух методов — полуклассического и полуэмпирического — проведены расчеты коэффициентов уширения колебательно-вращательных линий изотопологов  $^{16}\text{O}^{12}\text{C}^{16}\text{O}$ ,  $^{16}\text{O}^{12}\text{C}^{17}\text{O}$  и  $^{16}\text{O}^{12}\text{C}^{18}\text{O}$  давлением  $^{16}\text{O}^{12}\text{C}^{16}\text{O}$  в наиболее интенсивной полосе поглощения. Вычисления выполнены в широком спектральном диапазоне, включающем  $P$ -,  $Q$ - и  $R$ -ветви, значения вращательного квантового числа варьировались в пределах  $J = 0'65$ . Рассчитанные данные хорошо согласуются с экспериментальными значениями [1–3] и данными, помещенными в базу НИТРАН. Коэффициенты уширения в  $P$ -,  $Q$ - и  $R$ -ветвях отличаются незначительно: разница между вычисленными значениями в разных ветвях, в основном, находится в пределах 2%.

Сравнение коэффициентов уширения колебательно-вращательных линий изотопологов  $^{16}\text{O}^{12}\text{C}^{16}\text{O}$ ,  $^{16}\text{O}^{12}\text{C}^{17}\text{O}$  и  $^{16}\text{O}^{12}\text{C}^{18}\text{O}$  показывает заметное влияние изотопного замещения в активной молекуле на полуширину линий. Этот результат подтверждается и полуэмпирическими, и полуклассическими расчетами. Следовательно, влияние изотопного замещения в активной молекуле должно учитываться прежде всего при моделировании спектров смесей, включающих различные изотопологии  $\text{CO}_2$  при высоких температурах. Таким образом, рассчитанные данные могут быть полезными для исследования атмосфер Венеры и экзопланет.

Работа выполнена при поддержке РФФИ (гранты № 11-02-93112-НЦНИЛ\_a и 12-02-90048-Бел\_a).

1. Margottin-Maclou M., Dahoo P., Henry A., Valentin A., Henry L. Self-,  $\text{N}_2$ , and  $\text{O}_2$ -broadening parameters in the  $v_3$  and  $v_1 + v_3$  bands of  $^{12}\text{C}^{16}\text{O}_2$  // J. Mol. Spectrosc. 1988. V. 131, N 1. P. 21–35.
2. Cousin C., Doucen R., Houdeau J.P., Boulet C., Henry A. Air broadened linewidths, intensities, and spectral line shapes for  $\text{CO}_2$  at 4.3  $\mu\text{m}$  in the region of the

AMTS instrument // Appl. Opt. 1986. V. 25, N 14. P. 2434–2439.

3. Devi V.M., Fridovich B., Jones G.D., Snyder D.G.S. Diode Laser Measurements of Strengths, Half-Widths, and Temperature Dependence of Half-Widths for COP Spectral Lines near 4.2  $\mu\text{m}$  // J. Mol. Spectrosc. 1984. V. 105, N 1. P. 61–69.
4. Mandin J.-Y., Dana V., Badaoui M., Barbe A., Hamdouni A., Plateaux J.-J. Measurements of Pressure-Broadening and Pressure-Shifting Coefficients from FT Spectra // J. Mol. Spectrosc. 1994. V. 164, N 2. P. 328–337.
5. Thibault F., Boissoles J., Doucen R., Bouanich J.P., Arcas Ph., Boulet C. Pressure induced shifts of  $\text{CO}_2$  lines: Measurements of in the  $00^3-00^0$  band and theoretical analysis // J. Chem. Phys. 1992. V. 96, N 7. P. 4945–4953.
6. Arie E., Laclome N., Arcas P., Levy A. Oxygen- and air-broadened linewidths of  $\text{CO}_2$  // Appl. Opt. 1986. V. 25, N 15. P. 2584–2591.
7. Valero F.P.J., Suarez C., Boese R.W. Absolute intensities and pressure broadening coefficients measured at different temperatures for the  $201_{II} \leftarrow 000$  band of  $^{12}\text{C}^{16}\text{O}_2$  at 4978  $\text{cm}^{-1}$  // J. Quant. Spectrosc. and Radiat. Transfer. 1980. V. 23, N 3. P. 337–341.
8. Eng R.S., Mantz A.W. Tunable diode laser spectroscopy of CO, in the 10– to 15- $\mu\text{m}$  spectral region—lineshape and Q-branch head absorption profile // J. Mol. Spectrosc. 1979. V. 74, N 3. P. 331–344.
9. Predoi-Cross A., May A.D., Vitcu A., Drummond J.R., Hartmann J.-M., Boulet C. Brodening and line mixing in the  $20^0 \leftarrow 01^1$ ,  $11^1 \leftarrow 00^0$  and  $1220 \leftarrow 0110$  Q-branches of carbon dioxide: experimental results and energy corrected sudden modeling // J. Chem. Phys. 2004. V. 120, N 22. P. 10520–10529.
10. Predoi-Cross A., Luo C., Berman R., Drummond J.R., May A.D. Line strengths, self-broadening, and line-mixing in the  $20^0 \leftarrow 01^1$  ( $\Sigma \leftarrow \Omega$ ) Q-branch of carbon dioxide // J. Chem. Phys. 2000. V. 112, N 19. P. 8367–8377.
11. Mandin J.-Y., Dana V., Allout M.-Y., Regalia L., Barbe A., Plateaux J.-J. Line intensities and self-broadening coefficients in the  $10012-10001$  band of  $^{12}\text{C}^{16}\text{O}_2$  centered at 2224.657  $\text{cm}^{-1}$  // J. Mol. Spectrosc. 1995. V. 170, N 2. P. 604–607.
12. Dana V., Mandin J.-Y., Guelachvili G., Kou Q., Morillon-Chapey M., Watson R.B., Rothman L.S. Intensities and self-broadening coefficients of  $^{12}\text{C}^{16}\text{O}_2$  lines in the laser band region // J. Mol. Spectrosc. 1992. V. 152, N 2. P. 328–341.
13. Dana V., Valentin A. Determination of line parameters from FTS spectra // Appl. Opt. 1988. V. 27, N 21. P. 4450–4453.
14. Henry A., Dahoo P., Valentin A. Line strengths and self-broadening parameters of the  $^{12}\text{C}^{16}\text{O}_2$  ( $10^0 1_I \leftarrow 10^0 0_{II}$ ) transition // Appl. Opt. 1986. V. 25, N 19. P. 3516–3519.
15. Abubakar M.S., Shaw J.H. Carbon dioxide band intensities and linewidths in the 8–12- $\mu\text{m}$  region // Appl. Opt. 1986. V. 25, N 7. P. 1196–1203.
16. Gangemi F.A. Effect of Isotopic substitution on the Dipole Moment of Molecules of Symmetrical Configuration // J. Chem. Phys. 1963. V. 39, N 12. P. 3490–3496.
17. Mandin J.-Y., Dana V., Badaoui M., Guelachvili G., Morillon-Chapey M., Kou Q. Intensities and self-broadening coefficients of  $^{13}\text{C}^{16}\text{O}_2$  lines in the laser band region // J. Mol. Spectrosc. 1992. V. 155, N 3. P. 393–402.

18. Rothman L.S., Gordon I.E., Barbe A., Chris Benner D., Bernath P.F., Birk M., Boudon V., Brown L.R., Camphgue A., Champion J.-P. The HITRAN 2008 molecular spectroscopic database // *J. Quant. Spectrosc. and Radiat. Transfer.* 2009. V. 110, N 9–10. P. 533–572.
19. Rosenmann L., Hawkins R.L., Wattson R.B., Gamache R.R. Energy levels, intensities, and linewidths of atmospheric carbon dioxide bands // *J. Quant. Spectrosc. and Radiat. Transfer.* 1992. V. 48, N 5/6. P. 537–566.
20. Bykov A., Lavrentieva N., Sinitsa L. Semi-empiric approach to the calculation of H<sub>2</sub>O and CO<sub>2</sub> line broadening and shifting // *Mol. Phys.* 2004. V. 102, is. 14–15. P. 1653–1658.
21. Lavrentieva N., Osipova A., Sinitsa L., Claveau Ch., Valentin A. Shifting temperature dependence of nitrogen-broadened lines in the v<sub>2</sub> band of H<sub>2</sub>O // *Mol. Phys.* 2008. V. 106, is. 9–10. P. 1261–1266.
22. Buldyreva J., Lavrentieva N. Nitrogen and oxygen broadening of ozone infrared lines in the region of 5 μm: theoretical predictions by semiempirical and semiclassical methods // *Mol. Phys.* 2009. V. 107, is. 15. P. 1527–1536.
23. Лаврентьева Н.Н., Миишина Т.П., Синица Л.Н., Теннисон Дж. Расчеты самоширения и самосдвига спектральных линий водяного пара с использованием точных колебательно-вращательных волновых функций // Оптика атмосф. и океана. 2008. Т. 21, № 12. Р. 1096–1100.
24. Petrova T.M., Solodov A.M., Solodov A.A., Dudaryonok A.S., Lavrentieva N.N. Measurements of O<sub>2</sub>-broadening and -shifting parameters of the water vapor spectral lines in the second hexad region // *J. Quant. Spectrosc. and Radiat. Transfer.* 2011. V. 112, is. 18. P. 2741–2749.
25. Дударенок А.С., Лаврентьева Н.Н., Аришинов К.И., Невдах В.В. Столкновительное уширение линий CO<sub>2</sub> давлением N<sub>2</sub>O // Оптика атмосф. и океана. 2011. Т. 24, № 10. С. 858–863.
26. URL: <http://wadis.saga.iao.ru/>
27. URL: <http://ara.lmd.polytechnique.fr>
28. Buldyreva J., Nguyen L. Extension of the exact trajectory model to the case of asymmetric tops and its application to infrared nitrogen-broadened linewidths of ethylene // *Phys. Rev. A.* 2008. V. 77, N 4. 042720. (10 p).
29. Nguyen L., Buldyreva J., Colmont J.M., Rohart F., Włodarczak G., Alekseev E.A. Detailed profile analysis of millimetre 502 and 602 GHz N<sub>2</sub>O–N<sub>2</sub>(O<sub>2</sub>) lines at room temperature for collisional linewidth determination // *Mol. Phys.* 2006. V. 104, is. 16–17. P. 2701–2710.
30. Yang C., Buldyreva J., Gordon I., Rohart F., Cuisset A., Mouret G., Bocquet R., Hindle F. Oxygen, nitrogen and air broadening of HCN spectral lines at terahertz frequencies // *J. Quant. Spectrosc. and Radiat. Transfer.* 2008. V. 109, N 17–18. P. 2857–2868.
31. Buldyreva J., Guinet M., Eliet S., Hindle F., Mouret G., Bocquet R., Cuisset A. Theoretical and experimental studies of CH<sub>3</sub>X–Y<sub>2</sub> rotational line shapes for atmospheric spectra modelling: application to room-temperature of CH<sub>3</sub>Cl–O<sub>2</sub> // *Phys. Chem. Chem. Phys.* 2011. V. 13, is. 6. P. 20326–20334.
32. Tsao C.J., Curnutte B. Line-width of pressure-broadened spectral lines // *J. Quant. Spectrosc. and Radiat. Transfer.* 1961. V. 2, N 1. P. 41–91.
33. Yasuda H., Yamamoto T. On the two-centre expansion of an arbitrary function // *Prog. Theor. Phys.* 1971. V. 45. P. 1458–1465.
34. Rosenmann L., Hartmann J.M., Perrin M.Y., Taine J. Collisional broadening of CO<sub>2</sub> IR lines. II. Calculations // *J. Chem. Phys.* 1988. V. 88, N 5. P. 2999–3006.
35. Murthy C.S., Singer K., Mc Donald J.R. Interaction site models for carbon dioxide // *Mol. Phys.* 1981. V. 44, is. 1. P. 135–143.
36. Rothman L.S., Young L.D.G. Infrared energy levels and intensities of carbon dioxide—II // *J. Quant. Spectrosc. and Radiat. Transfer.* 1981. V. 25, N 6. P. 505–524.

**N.N. Lavrentieva, A.S. Dudaryonok, J.V. Buldyreva. Isotopic substitution effect in the absorbing molecule on the self-broadening coefficients of carbon dioxide spectral lines.**

The dipole moment effect, which occurs due to isotopic substitution of one oxygen atom in the absorbing molecule, on the collisional half-widths of rotation-vibrational lines in the v<sub>3</sub> band in the case of perturbation by the main isotopic species <sup>16</sup>O<sup>12</sup>C<sup>16</sup>O is investigated. Self-broadening coefficients of the carbon dioxide isotopic species lines were calculated by two methods: semi-empirical and semiclassical. The difference of line broadening for different isotopic species is obtained using both methods.